

Elementos de Programação

Trabalho nº 2

Jodionísio Muachifi «97147»

Miguel Simões «118200»

Gustavo Reggio «118485»

Grupo nº 1

Mestrado em Engenharia de Computadores e Telemática

Mestrado em Engenharia de Automação Industrial

Professor: Armando J. Pinho

27 de novembro de 2023

[Link do repositório do Projeto 2](#)

Conteúdo

Abreviaturas	ii
1 Introdução	1
2 Parte I	2
2.1 Exercício nº 1 (a).....	2
2.2 Exercício nº 1 (b).....	3
2.3 Exercício nº 1 (c).....	4
2.4 Exercício nº 1 (d).....	6
2.5 Exercício nº 1 (e).....	9
3 Testes de redes neurais e análise de resultados	10
3.1 Testes de redes neurais	10
3.2 Análise de resultados.....	13
4 Testes unitários e programação defensiva.....	17
4.1 Testes unitários.....	17
4.2 Programação defensiva	17
5 Contribuição dos autores	18
6 Conclusão	19

Figuras

Figura 1 - Função de ativação (Sigmóide)	2
Figura 2 - Função de ativação (ficheiro nn_base.c)	3
Figura 3 - Unidade bias adicionada na estrutura de dados nn	4
Figura 4 - Representação do grafo da Rede Neural com $I=2$, $H=2$, $O=1$	5
Figura 5 - Representação gráfica da função sigmóide e sua derivativa	6
Figura 6 - Comparação do XOR nn com e sem seed ($n = 1000$, $h = 12$)	10
Figura 7 - Comparação do XOR nn com e sem seed ($n = 10000$, $h = 12$)	11
Figura 8 - Comparação do XOR nn com e sem seed ($n = 100000$, $h = 12$)	11
Figura 9 - Comparação do XOR nn com e sem seed ($n = 1000000$, $h = 12$)	12
Figura 10 - Gráfico do MSE, Tempo em Relação a n , sem seed ($n = 1000$, $h = 12$, $lr=0.1$)	13
Figura 11 - Gráfico do MSE, Tempo em Relação a n , com seed ($n = 1000$, $h = 12$, $lr=0.1$, $seed=123$)	14
Figura 12 - Gráfico do MSE, Tempo em Relação a n , sem seed ($n = 10000$, $h = 12$, $lr=0.5$)	14
Figura 13 - Gráfico do MSE, Tempo em Relação a n , com seed ($n = 10000$, $h = 12$, $lr=0.5$, $seed=123$)	14
Figura 14 - Gráfico do MSE, Tempo em Relação a n , sem seed ($n = 100000$, $h = 12$, $lr=0.5$)	15
Figura 15 - Gráfico do MSE, Tempo em Relação a n , com seed ($n = 100000$, $h = 12$, $lr=0.5$, $seed=123$)	15
Figura 16 - Gráfico do MSE, Tempo em Relação a n , sem seed ($n = 1000000$, $h = 12$, $lr=0.5$)	15
Figura 17 - Gráfico do MSE, Tempo em Relação a n , com seed ($n = 1000000$, $h = 12$, $lr=0.5$, $seed=123$) ..	16

Abreviaturas

MECT – Mestrado em Engenharia de Computadores e Telemática

MEAI – Mestrado em Engenharia de Automação Industrial

PD – Programação defensiva

TU – Teste Unitário

MSE – Mean Squared Error

NN – Neural Network

BP – Backpropagation

Capítulo 1

1 Introdução

Redes neurais representam modelos computacionais poderosos inspirados na complexa estrutura e funcionalidade do cérebro humano. Nos últimos anos, essa abordagem ganhou proeminência pela sua eficácia na resolução de problemas complexos numa variedade de domínios, desde reconhecimento de imagem e fala até processamento de linguagem natural e tomada de decisões. Este relatório concentra-se na implementação e avaliação de uma rede neural simples projetada para abordar a clássica função booleana **XOR**.

Para garantir modularidade e flexibilidade, o código foi desenvolvido utilizando a linguagem de programação C, proporcionando uma implementação clara e concisa da rede neural. O processo de treino inclui estratégias de otimização, como a inicialização de pesos aleatórios, salvando o estado do modelo e introduzindo uma semente para garantir a reprodutibilidade dos resultados.

A arquitetura da rede neural é construída com uma abordagem modular, encapsulada nos arquivos *nn_base.h* e *nn_base.c*. O modelo consiste em camadas interconectadas de unidades, cada uma incorporando uma função de ativação não linear. O treino da rede envolve a retropropagação (*backpropagation*), uma técnica fundamental que ajusta os pesos e o *bias* para minimizar a diferença entre as saídas previstas e os alvos (*targets*) desejados.

A implementação prática da rede neural é realizada no arquivo *train_nn.c*, que funciona como uma arena de treino e teste para a função **XOR**. Os dados de treino, fornecidos no arquivo *xor.train*, orientam a rede na aproximação da função booleana **XOR**. O desempenho da rede é meticulosamente avaliado por meio de iterações, com o erro quadrático médio (*MSE*) atuando como métrica central de precisão.

Para assegurar robustez e integridade, foram incorporadas validações extensivas, inclusive por meio de testes unitários, para verificar cada parte do código individualmente. O código-fonte desenvolvido, com instruções detalhadas sobre a sua execução, encontra-se disponível em nosso repositório no GitHub, proporcionando um fácil acesso para utilização e referência. Os gráficos presentes neste relatório, os fizemos com a linguagem de programação Python e Matlab. O código do projeto também pode ser testado na versão Python que desenvolvemos.

Capítulo 2

2 Parte I

Os exercícios desenvolvidos nesta parte tinham como principal propósito aplicar e integrar a matéria que estudamos nas aulas teóricas, aplicando conceitos fundamentais sobre redes neurais e cálculo de retropropagação (*backpropagation*).

2.1 Exercício nº 1 (a)

Esta parte do exercício é útil para compreender o contexto das redes neurais, sendo as funções de ativação um elemento crucial na introdução de não linearidade ao modelo. A função de ativação adotada neste projeto é a sigmóide, representada por $f(x) = \frac{1}{1+e^{-x}}$ uma função comumente utilizada que comprime os valores de entrada para um intervalo entre 0 e 1, como ilustrado na Figura 1

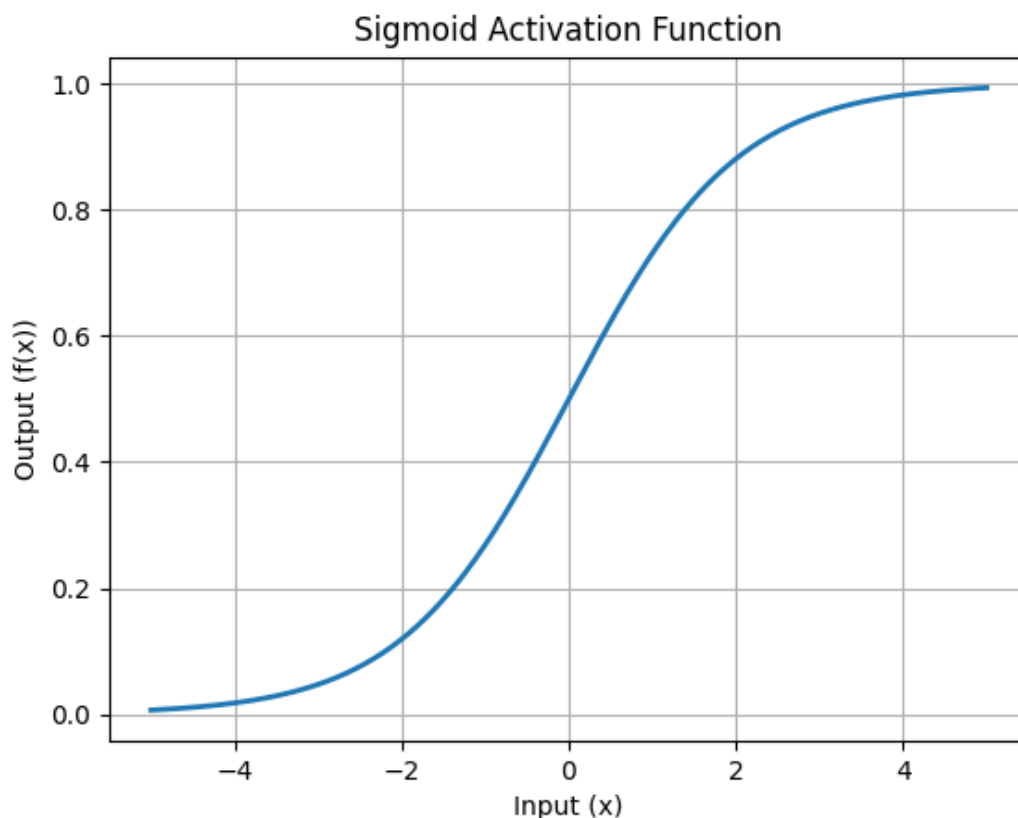


Figura 1 - Função de ativação (Sigmóide)

Propriedades da função sigmóide

Não-linearidade: A função sigmóide introduz não-linearidade à rede neural, permitindo que ela aprenda e represente relações complexas nos dados.

Derivada: A derivada da função sigmóide, $\frac{df}{dx} = f(x)(1 - f(x))$, é utilizada no algoritmo de retropropagação durante a fase de treino. Ela ajuda a ajustar os pesos da rede para minimizar o erro.

Faixa de saída: A saída da função sigmóide é confinada à faixa (0, 1), o que é vantajoso em cenários em que a rede precisa produzir probabilidades.

Além disso, acrescentamos a função referida anteriormente no ficheiro de desenvolvimento dos protótipos (ficheiro *nn_base.c*), conforme mostra a Figura 2.

```
static double unit_activation(double inp)
{
    return 1.0 / (1.0 + exp(-inp));
}
```

Figura 2 - Função de ativação (ficheiro *nn_base.c*)

2.2 Exercício nº 1 (b)

O objetivo desta parte do exercício é acrescentar uma unidade à estrutura de dados *nn* (no ficheiro *nn_base.h*) chamada *bias*, que é um parâmetro essencial que permite que as unidades introduzam um offset à soma ponderada de entradas, proporcionando flexibilidade e auxiliando no processo de aprendizagem. A saída (O_j^l) de uma unidade (j) em camada (l) é atualizada do seguinte modo:

$$O_j^l = f \left(\sum_i w_{i,j}^l O_i^{l-1} + b_j^l \right)$$

$w_{i,j}^l$ representa o peso que conecta a unidade i na camada $l - 1$ à unidade j na camada l .

O_i^{l-1} é a saída da unidade i na camada anterior ($l - 1$).

b_j^l é o *bias* associado à unidade j na camada l .

A Figura 3 mostra a unidade acrescentada na estrutura de dados acima mencionada, i.e., adicionamos o *bias* nas duas camadas: *hidden layer* e *output layer*.

```
typedef struct nn {
    unsigned I, H, O; // the number of inputs, hidden layer units and output units
    double *inp;      // the inputs of the neural network
    unit_t *u_h;      // the hidden layer
    unit_t *u_o;      // the output layer
    double **w_ih;     // weights from the input to the hidden layer
    double **w_ho;     // weights from the hidden layer to the output layer
    double *b_h;       // bias of the hidden layer
    double *b_o;       // bias of the output layer
} nn_t;
```

Figura 3 - Unidade bias adicionada na estrutura de dados nn

2.3 Exercício nº 1 (c)

O objetivo desta parte do exercício é implementar um código de teste para verificar se a rede neural está a implementar corretamente o que é esperado. Para tal definiu-se uma pequena rede neural com duas entradas, ambas com valor igual a um, duas *hidden layers*, e um output.

Nos cálculos abaixo, podemos ver como é efetuado o cálculo do *Forwardpropagation*:

$$\text{Hidden 1} \rightarrow 1 \cdot 0.5 + 1 \cdot 0.5 + 0.5 = 1.5$$

$$\text{Sig}(\text{Hidden1}) = \frac{1}{1 + e^{-1.5}} = 0.817574$$

$$\text{Hidden 2} \rightarrow 1 \cdot (-0.5) + 1 \cdot 0.5 - 0.5 = -0.5$$

$$\text{Sig}(\text{Hidden2}) = \frac{1}{1 + e^{0.5}} = 0.377541$$

$$\text{Output} = 0.817574 \times 0.5 + 0.377541 \times (-0.5) + 0.5 = 0.720017$$

$$\text{Sig}(\text{Output}) = \frac{1}{1 + e^{-0.720017}} = 0.672611$$

Para verificar o resultado calculado manualmente, criamos um programa denominado *verify_test_design.c* de modo a confirmar o resultado acima mencionado.

Para correr este programa, é necessário seguir as instruções que se segue e, assegurar que está no diretório partI:

```
user@host: partI$ make
```

```
user@host: partI$ ./verify_test_design
```

Como se pode constatar, o valor final do resultado das contas manuais e o valor obtido pelo programa após a sua execução coincidem, demonstrando assim que a nossa *forwardpropagation* produz os resultados esperados.

Com o objetivo de esclarecer e exemplificar a rede neural em questão, foi criada uma representação gráfica (ou seja, um grafo) utilizando a ferramenta *draw.io* para auxiliar na visualização.

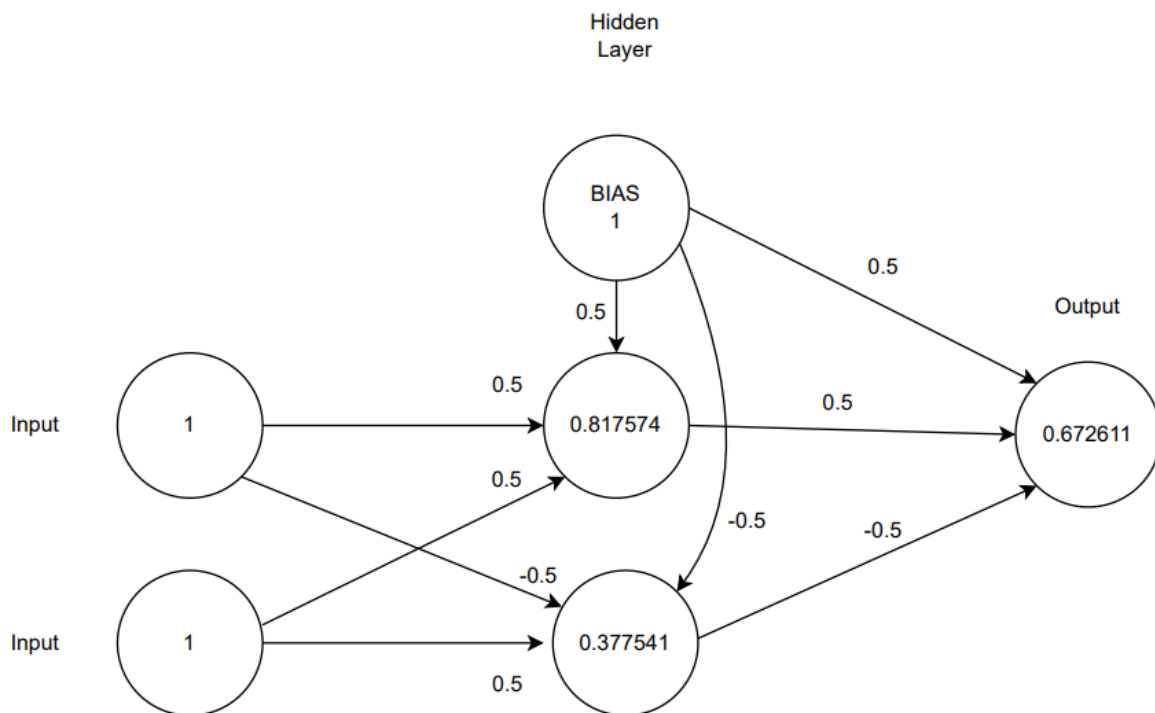


Figura 4 - Representação do grafo da Rede Neural com $I=2$, $H=2$, $O=1$

2.4 Exercício nº 1 (d)

O objetivo desta parte do exercício é aprender e implementar uma retropropagação. Esta é primordial para a aprendizagem da rede neural, e, como tal, não se aborda a retropropagação sem mencionar o cálculo de erro (*MSE*).

Basicamente, será construído um código para que, ao fim dos cálculos, haja uma validação da rede; esta será o cálculo de erro. A rede deve ser capaz de analisar o valor de erro e alterar os pesos a fim de minimizar esse valor de erro.

O termo “*backpropagation*” deriva desta validação de erro e conforme o valor (entre 0 e 1) deve alterar os pesos consoante o rácio de aprendizagem.

Caraterísticas essenciais do algoritmo “*Backpropagation*”

- **Função de ativação:** a escolha da função de ativação afeta o processo de treino. Funções de ativação comuns incluem o sigmóide, tangente hiperbólica (Tanh) e unidade linear retificada (Relu). Para o nosso caso, utilizamos a *função sigmóide derivativa* que mencionamos anteriormente na *secção 2.1* e *2.3*, tal como ilustra o gráfico da Figura 5.

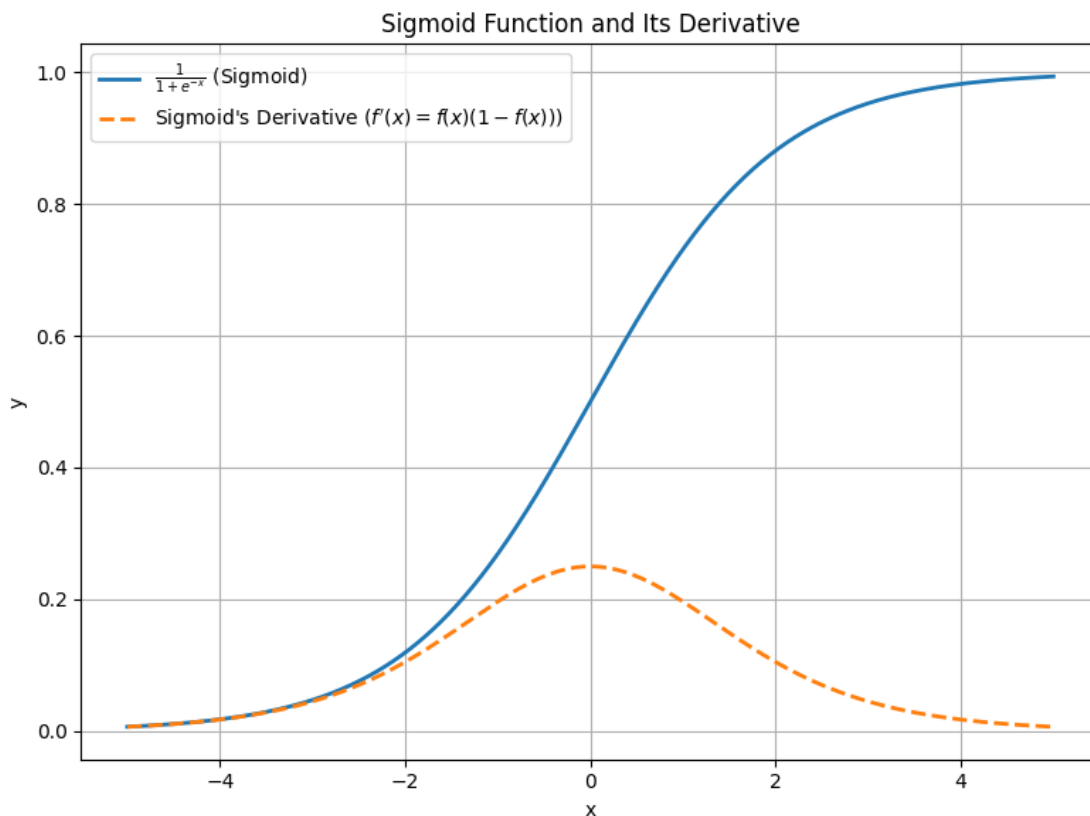


Figura 5 - Representação gráfica da função sigmóide e sua derivativa

- **Learning Rate (Taxa de Aprendizagem):** a taxa de aprendizagem controla o tamanho das actualizações de peso e de polarização. Uma taxa de aprendizagem demasiado pequena pode levar a uma convergência lenta, enquanto uma taxa de aprendizagem demasiado grande pode causar oscilações ou divergências.
- **Erro médio quadrático (MSE):** o MSE serve como uma métrica crucial para avaliar o desempenho da rede durante o treino. Orienta o processo de otimização ao quantificar a diferença média ao quadrado entre as saídas previstas e reais, refletindo a precisão geral do modelo.
- **Chain Rule (Regra da cadeia):** a retro propagação utiliza a regra da cadeia de cálculo para calcular gradientes de forma eficiente. Divide o erro global em contribuições de pesos e *biases* individuais. Para simplificar, vamos considerar uma rede neural simples com uma camada oculta apenas para ilustrar esta regra:

Arquitetura da rede neural:

- **Input Layer:** x_1, x_2, x_3
- **Hidden Layer:** h_1, h_2 com pesos $w_{ij}^{(1)}$ e bias $b_j^{(1)}$
- **Output Layer:** y com pesos $w_j^{(2)}$ e bias b

Forward Pass:

1. Input Layer to Hidden Layer

$$h_1 = f(w_{11}^{(1)}x_1 + w_{21}^{(1)}x_2 + w_{31}^{(1)}x_3 + b_1^{(1)})$$

$$h_2 = f(w_{12}^{(1)}x_1 + w_{22}^{(1)}x_2 + w_{32}^{(1)}x_3 + b_2^{(1)})$$

$$2. \text{ Hidden Layer to Output Layer: } y = f(w_1^{(2)}h_1 + w_2^{(2)}h_2 + w_{32}^{(1)}x_3 + b^{(2)})$$

$$\text{Cálculo do Erro: } Error = \frac{1}{2}(target - y)^2$$

$$\text{Derivada do erro em relação a } y: \frac{\partial E}{\partial y} = -(target - y)$$

$$\text{Derivada de } y \text{ em relação a } w_j^{(2)}: \frac{\partial E}{\partial w_j^{(2)}} = f'(w_1^{(2)}h_1 + w_2^{(2)}h_2 + b^{(2)}) \cdot h_j$$

$$\text{Derivada de } y \text{ em relação a } h_j: \frac{\partial y}{\partial h_j} = w_j^{(2)} \cdot f'(w_1^{(2)}h_1 + w_2^{(2)}h_2 + b^{(2)})$$

$$\text{Derivada de } h_j \text{ em relação a } w_{ij}^{(1)}: \frac{\partial h_j}{\partial w_{ij}^{(1)}} = x_i \cdot f'(w_{11}^{(1)}x_1 + w_{21}^{(1)}x_2 + w_{31}^{(1)}x_3 + b_1^{(1)})$$

Regra de atualização para $w_{ij}^{(1)}$ (gradiente decrescente) é:

$$w_{ij}^{(1)} = w_{ij}^{(1)} + \eta \cdot \frac{\partial E}{\partial y} \cdot \frac{\partial y}{\partial h_j} \cdot \frac{\partial h_j}{\partial w_{ij}^{(1)}}, \text{ onde } \eta \text{ é a taxa de aprendizagem.}$$

Para prosseguir com a implementação do código do algoritmo supracitado, reaproveitamos o código disponibilizado pelo Professor na plataforma e-learning, por este estar bem organizado e robusto. Portanto, criamos primeiramente no ficheiro *nn_base.c* a função *sigmoid_derivative(double x)* e só por conseguinte a função *backpropagation(nn_t *nn, double *targets, double learning_rate)* da qual realiza todo cálculo já explicado anteriormente.

Além disso, ainda no mesmo ficheiro, adicionamos uma *seed* (semente) na função *create_nn(unsigned I, unsigned H, unsigned O, unsigned seed)* de modo a inicializar os pesos de forma aleatória com recurso a *RAND_MAX* na primeira vez que o programa é executado. Também incluímos a função *free_nn(nn_t *nn)*, que permite libertar a memória após a sua utilização, e *load_input_vector_from_array(nn_t *nn, double *input_array)* que permite carregar os dados de entrada.

Em resumo, a retropropagação é um algoritmo fundamental para o treino de redes neurais, permitindo-lhes aprender com os dados e fazer previsões precisas. Sua natureza iterativa, uso eficiente de cálculo e adaptabilidade a várias arquiteturas de rede contribuem para seu uso generalizado no campo da aprendizagem automática. Entender o algoritmo de retropropagação é crucial para os profissionais que trabalham com redes neurais e forma a base para técnicas de otimização mais avançadas em *deep learning*.

2.5 Exercício nº 1 (e)

O objetivo desta parte do exercício é treinar a rede neural utilizando a função XOR, que serve como um valioso caso de teste para redes neurais, destacando sua capacidade de aprender e representar relações não-lineares. Este relatório demonstra a importância das funções de ativação não lineares e das camadas ocultas para aumentar o poder de expressão da rede neural, utilizando a função XOR, cujos valores lógicos estão ilustrados na Tabela 1.

Input		Output
A	B	A XOR B
0	0	0
0	1	1
1	0	1
1	1	0

Tabela 1 - Valores lógicos da função XOR (input, output)

Para obter bons resultados no treino de uma rede neural, é crucial fazer escolhas adequadas quanto à arquitetura da rede, aos (hiper)parâmetros e ao conjunto de dados de treino. No nosso caso, os parâmetros relevantes para alcançar resultados satisfatórios são: taxa de aprendizagem, número de iterações, número de camadas ocultas e semente (seed). Todos estes parâmetros e as demais características de inicialização da rede neural estão definidas no ficheiro *train_nn.c*.

Para correr o exercício deste programa, é necessário seguir as instruções que se segue e, assegurar que está no diretório partI:

```
user@host: partI$ make
```

```
user@host: partI$ ./train_nn train -h 12 -n 10000 -lr 0.5 xor.train
```

Onde:

- ***h*** representa o número de camadas ocultas;
- ***n*** representa o número de iterações e;
- ***lr*** representa o learning rate.

No capítulo seguinte, apresentaremos diversos testes, variando os parâmetros mencionados acima, e discutiremos os resultados obtidos.

Capítulo 3

3 Testes de redes neurais e análise de resultados

3.1 Testes de redes neurais

O foco desta secção é a realização de testes completos ou mais detalhados de redes neurais para avaliar seu desempenho e capacidade de propagação utilizando a função XOR. O teste de redes neurais envolve a exposição dos modelos treinados a dados novos para avaliar a capacidade de fazer previsões e guardar o estado anterior do treino.

- **Teste nº 1**

```
user@host: partI$ make
```

```
user@host: partI$ ./train_nn train -h 12 -n 1000 -lr 0.1 xor.train
```

```
user@host: partI$ make
```

```
user@host: partI$ ./train_nn train -h 12 -n 1000 -lr 0.1 -s 123 xor.train
```

A – Teste XOR nn sem seed

```
=====
Testing the trained XOR network:
[0.000000 0.000000] -> 0.454599
[0.000000 1.000000] -> 0.498304
[1.000000 0.000000] -> 0.504860
[1.000000 1.000000] -> 0.535031
[Iteration : MSE] -> 998 : 0.256727
Backpropagation took 0.000067 seconds
Accuracy: 50.00%
Energy Consumption: 0.01 joules
=====

Testing the trained XOR network:
[0.000000 0.000000] -> 0.454583
[0.000000 1.000000] -> 0.498319
[1.000000 0.000000] -> 0.504852
[1.000000 1.000000] -> 0.535042
[Iteration : MSE] -> 999 : 0.256725
Backpropagation took 0.000138 seconds
Accuracy: 50.00%
Energy Consumption: 0.01 joules
=====
```

B – Teste XOR nn com seed

```
=====
Testing the trained XOR network:
[0.000000 0.000000] -> 0.499837
[0.000000 1.000000] -> 0.499837
[1.000000 0.000000] -> 0.499836
[1.000000 1.000000] -> 0.499836
[Iteration : MSE] -> 998 : 0.256347
Backpropagation took 0.000214 seconds
Accuracy: 50.00%
Energy Consumption: 0.02 joules
=====

Testing the trained XOR network:
[0.000000 0.000000] -> 0.499837
[0.000000 1.000000] -> 0.499837
[1.000000 0.000000] -> 0.499836
[1.000000 1.000000] -> 0.499836
[Iteration : MSE] -> 999 : 0.256347
Backpropagation took 0.000163 seconds
Accuracy: 50.00%
Energy Consumption: 0.02 joules
=====
```

Figura 6 - Comparação do XOR nn com e sem seed ($n = 1000$, $h = 12$)

- Teste nº 2

```
user@host: part1$ make
```

```
user@host: part1$ ./train_nn train -h 12 -n 10000 -lr 0.5 xor.train
```

```
user@host: part1$ make
```

```
user@host: part1$ ./train_nn train -h 12 -n 10000 -lr 0.5 -s 123 xor.train
```

A – Teste XOR nn sem seed

```
=====
Testing the trained XOR network:
[0.000000 0.000000] -> 0.094908
[0.000000 1.000000] -> 0.980992
[1.000000 0.000000] -> 0.901533
[1.000000 1.000000] -> 0.045812
[Iteration : MSE] -> 9998 : 0.005378
Backpropagation took 0.000143 seconds
Accuracy: 100.00%
Energy Consumption: 0.01 joules
=====
Testing the trained XOR network:
[0.000000 0.000000] -> 0.094896
[0.000000 1.000000] -> 0.980994
[1.000000 0.000000] -> 0.901547
[1.000000 1.000000] -> 0.045805
[Iteration : MSE] -> 9999 : 0.005376
Backpropagation took 0.000162 seconds
Accuracy: 100.00%
Energy Consumption: 0.02 joules
=====
```

B – Teste XOR nn com seed

```
=====
Testing the trained XOR network:
[0.000000 0.000000] -> 0.000150
[0.000000 1.000000] -> 0.951404
[1.000000 0.000000] -> 0.798452
[1.000000 1.000000] -> 0.192378
[Iteration : MSE] -> 9998 : 0.021642
Backpropagation took 0.000080 seconds
Accuracy: 100.00%
Energy Consumption: 0.01 joules
=====
Testing the trained XOR network:
[0.000000 0.000000] -> 0.000150
[0.000000 1.000000] -> 0.951406
[1.000000 0.000000] -> 0.798463
[1.000000 1.000000] -> 0.192369
[Iteration : MSE] -> 9999 : 0.021639
Backpropagation took 0.000103 seconds
Accuracy: 100.00%
Energy Consumption: 0.01 joules
=====
```

Figura 7 - Comparação do XOR nn com e sem seed (n = 10000, h = 12)

A – Teste XOR nn sem seed

```
=====
Testing the trained XOR network:
[0.000000 0.000000] -> 0.019012
[0.000000 1.000000] -> 0.993895
[1.000000 0.000000] -> 0.979981
[1.000000 1.000000] -> 0.009734
[Iteration : MSE] -> 99998 : 0.000224
Backpropagation took 0.000065 seconds
Accuracy: 100.00%
Energy Consumption: 0.01 joules
=====
Testing the trained XOR network:
[0.000000 0.000000] -> 0.019012
[0.000000 1.000000] -> 0.993895
[1.000000 0.000000] -> 0.979981
[1.000000 1.000000] -> 0.009734
[Iteration : MSE] -> 99999 : 0.000224
Backpropagation took 0.000062 seconds
Accuracy: 100.00%
Energy Consumption: 0.01 joules
=====
```

B – Teste XOR nn com seed

```
=====
Testing the trained XOR network:
[0.000000 0.000000] -> 0.000000
[0.000000 1.000000] -> 0.988157
[1.000000 0.000000] -> 0.945978
[1.000000 1.000000] -> 0.054998
[Iteration : MSE] -> 99998 : 0.001534
Backpropagation took 0.000145 seconds
Accuracy: 100.00%
Energy Consumption: 0.01 joules
=====
Testing the trained XOR network:
[0.000000 0.000000] -> 0.000000
[0.000000 1.000000] -> 0.988157
[1.000000 0.000000] -> 0.945979
[1.000000 1.000000] -> 0.054997
[Iteration : MSE] -> 99999 : 0.001534
Backpropagation took 0.000160 seconds
Accuracy: 100.00%
Energy Consumption: 0.02 joules
=====
```

Figura 8 - Comparação do XOR nn com e sem seed (n = 100000, h = 12)

Para testar os resultados obtidos da Figura 8, pode-se utilizar a CLI testados na Figura 7, alterando apenas o número de iterações.

- **Teste nº 3**

```
user@host: partI$ make
```

```
user@host: partI$ ./train_nn train -h 12 -n 1000000 -lr 0.5 xor.train
```

```
user@host: partI$ make
```

```
user@host: partI$ ./train_nn train -h 12 -n 1000000 -lr 0.5 -s 123 xor.train
```

A – Teste XOR nn sem seed

```
=====
Testing the trained XOR network:
[0.000000 0.000000] -> 0.004997
[0.000000 1.000000] -> 0.998762
[1.000000 0.000000] -> 0.994969
[1.000000 1.000000] -> 0.002011
[Iteration : MSE] -> 999998 : 0.000014
Backpropagation took 0.000136 seconds
Accuracy: 100.00%
Energy Consumption: 0.01 joules
=====
Testing the trained XOR network:
[0.000000 0.000000] -> 0.004997
[0.000000 1.000000] -> 0.998762
[1.000000 0.000000] -> 0.994969
[1.000000 1.000000] -> 0.002011
[Iteration : MSE] -> 999999 : 0.000014
Backpropagation took 0.000058 seconds
Accuracy: 100.00%
Energy Consumption: 0.01 joules
=====
```

B – Teste XOR nn com seed

```
=====
Testing the trained XOR network:
[0.000000 0.000000] -> 0.000000
[0.000000 1.000000] -> 0.998456
[1.000000 0.000000] -> 0.992783
[1.000000 1.000000] -> 0.007375
[Iteration : MSE] -> 999998 : 0.000027
Backpropagation took 0.000153 seconds
Accuracy: 100.00%
Energy Consumption: 0.02 joules
=====
Testing the trained XOR network:
[0.000000 0.000000] -> 0.000000
[0.000000 1.000000] -> 0.998456
[1.000000 0.000000] -> 0.992784
[1.000000 1.000000] -> 0.007375
[Iteration : MSE] -> 999999 : 0.000027
Backpropagation took 0.000065 seconds
Accuracy: 100.00%
Energy Consumption: 0.01 joules
=====
```

Figura 9 - Comparação do XOR nn com e sem seed ($n = 1000000$, $h = 12$)

Em resumo, podemos constatar que quanto maior for o número de iterações e o *learning rate* ajustável (0,5 para o nosso caso), maiores são as probabilidades de produzir resultados ótimos. Isso pode ser verificado na Figura 9, onde a **accuracy** atinge o valor de 100%, com **MSE** próximo de zero. No entanto, é importante notar que valores de *learning rate* superiores a 1 podem resultar em comportamentos ou resultados instáveis, sendo necessário um ajuste cuidadoso.

Vale ressaltar que realizámos vários testes e, neste relatório, apenas incluímos os mais importantes, de modo a não estender demasiado o relatório.

3.2 Análise de resultados

Uma vez testada a rede neural, a análise dos resultados implica uma análise pormenorizado de vários aspectos relacionados com o seu desempenho e comportamento. Os principais componentes da análise incluem:

Comparação de desempenho: a comparação do desempenho de diferentes testes efetuados anteriormente de redes neurais mostrou a avaliação do grau de propagação do modelo para diferentes conjuntos de dados ou variações nos parâmetros em diferentes situações no que concerne a n , h e lr .

Análise de erros: consistiu em investigar os casos em que o modelo não consegue fazer previsões precisas. A compreensão do **MSE** pode orientar melhorias na arquitetura da rede neural ou no processo de formação. Pudemos averiguar que este erro se aproximou de zero quando n fosse maior e lr ajustável a 0.5.

Visualizações: visualizar as previsões do modelo, como o **MSE** em função do número de iterações e em relação ao tempo que o algoritmo de retropropagação leva para executar seus cálculos, permitiu constatar o quão importante é compreender a dinâmica do processo de aprendizagem da rede neural. Essa análise detalhada revelou padrões significativos, destacando a influência da taxa de aprendizagem na convergência do modelo e fornecendo insights valiosos para otimizar o desempenho do algoritmo tal como ilustras as Figuras 10, 11, 12, 13, 14, 15, 16 e 17.

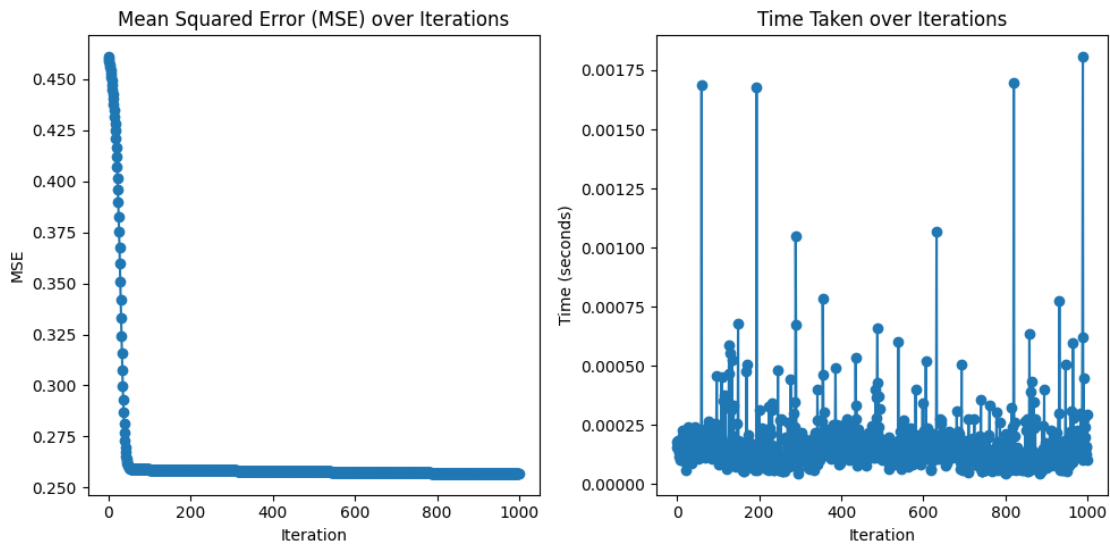


Figura 10 - Gráfico do MSE, Tempo em Relação a n , sem seed ($n = 1000$, $h = 12$, $lr=0.1$)

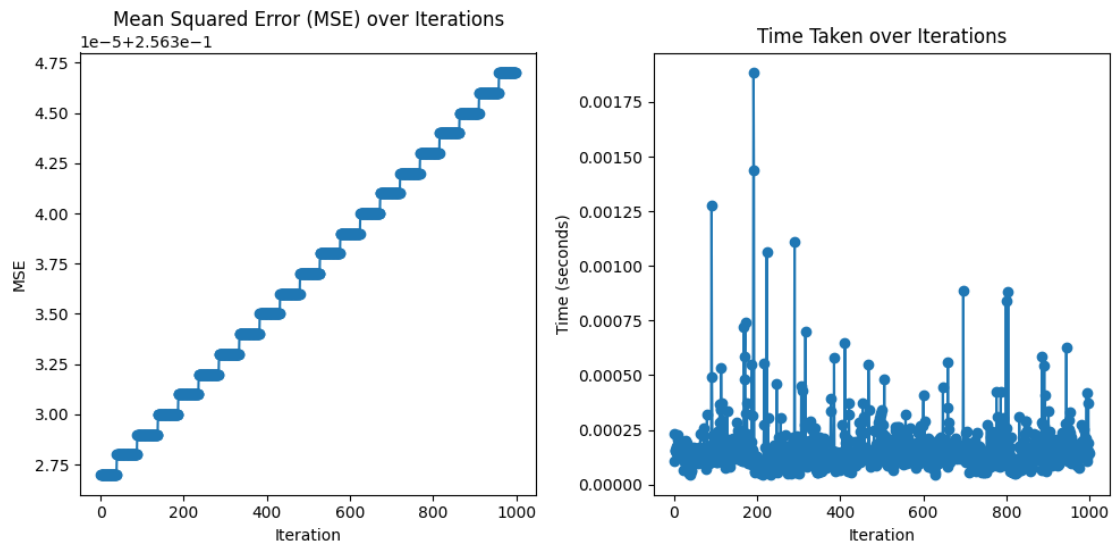


Figura 11 - Gráfico do MSE, Tempo em Relação a n , com seed ($n = 1000$, $h = 12$, $lr=0.1$, $seed=123$)

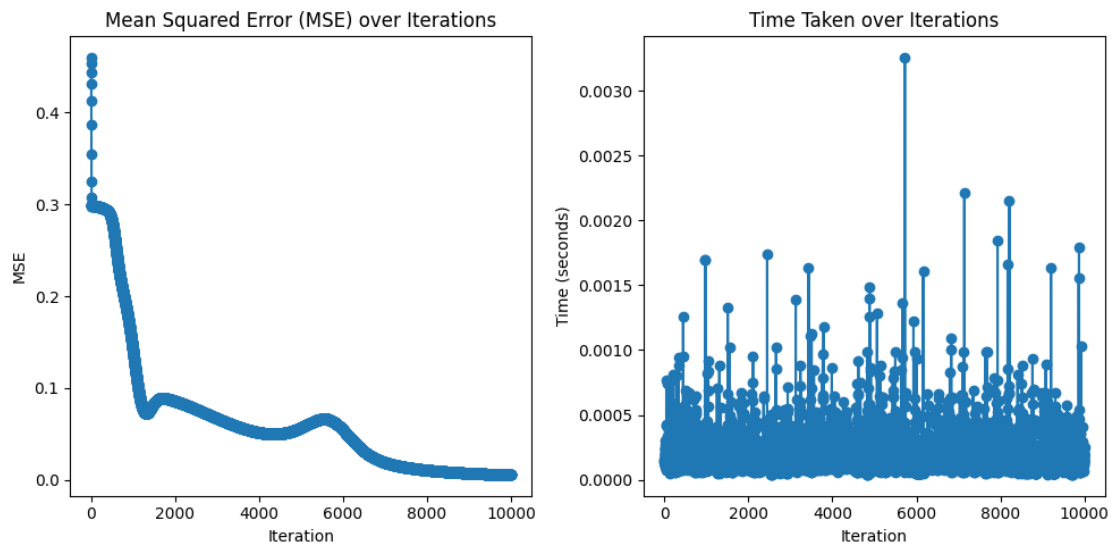


Figura 12 - Gráfico do MSE, Tempo em Relação a n , sem seed ($n = 10000$, $h = 12$, $lr=0.5$)

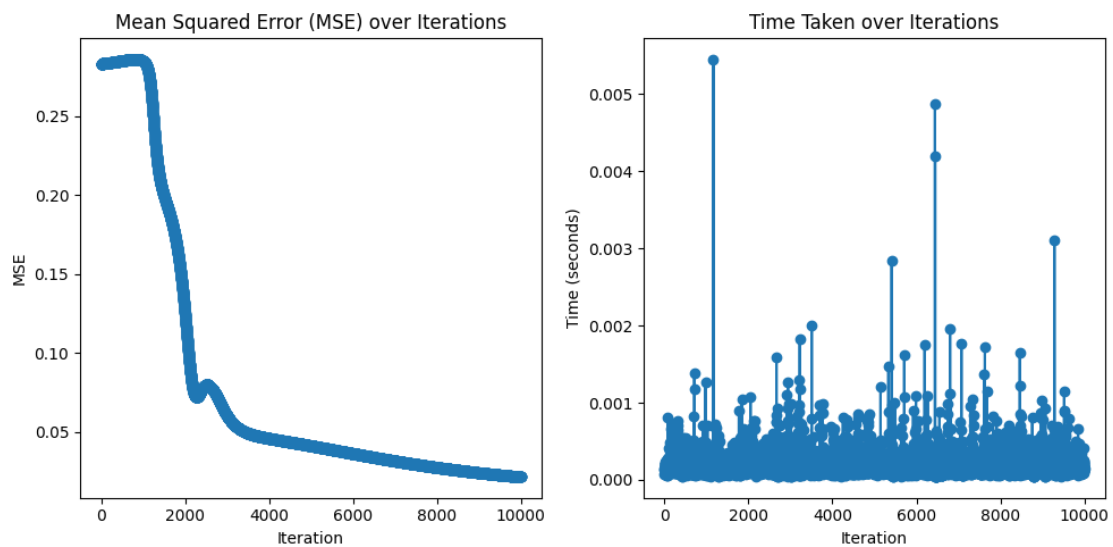


Figura 13 - Gráfico do MSE, Tempo em Relação a n , com seed ($n = 10000$, $h = 12$, $lr=0.5$, $seed=123$)

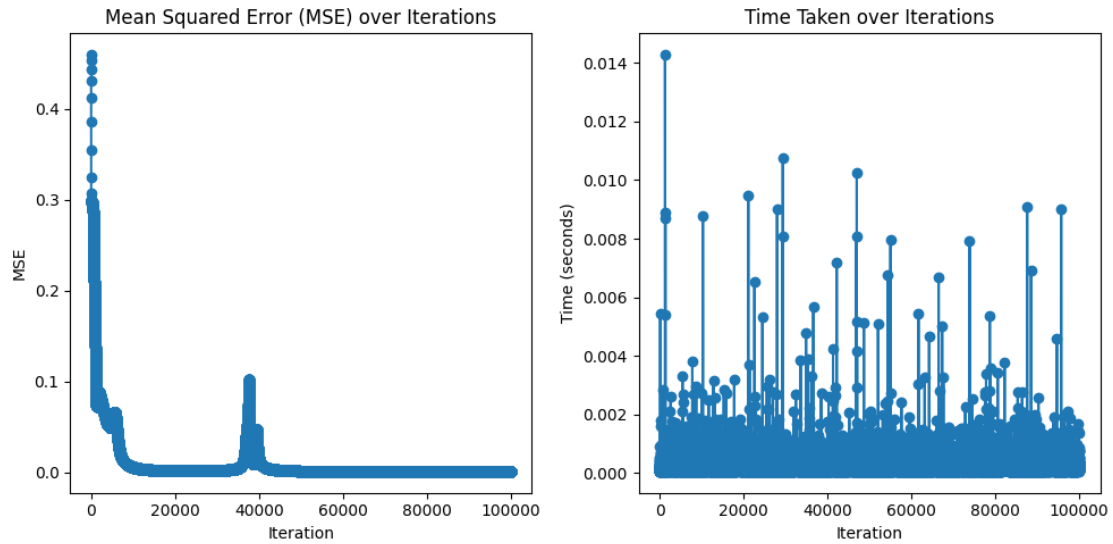


Figura 14 - Gráfico do MSE, Tempo em Relação a n , sem seed ($n = 100000$, $h = 12$, $lr=0.5$)

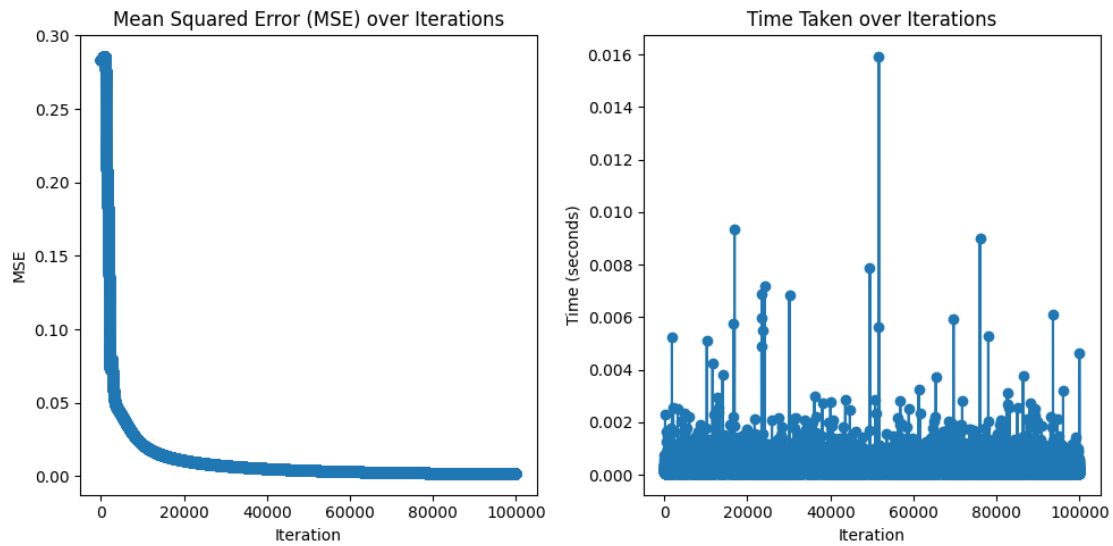


Figura 15 - Gráfico do MSE, Tempo em Relação a n , com seed ($n = 100000$, $h = 12$, $lr=0.5$, seed=123)

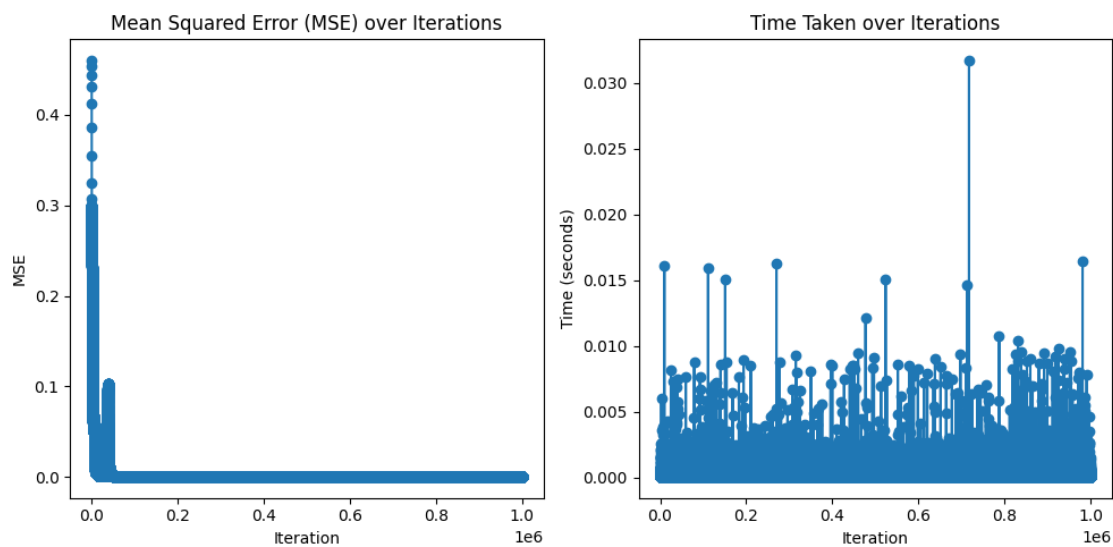


Figura 16 - Gráfico do MSE, Tempo em Relação a n , sem seed ($n = 1000000$, $h = 12$, $lr=0.5$)

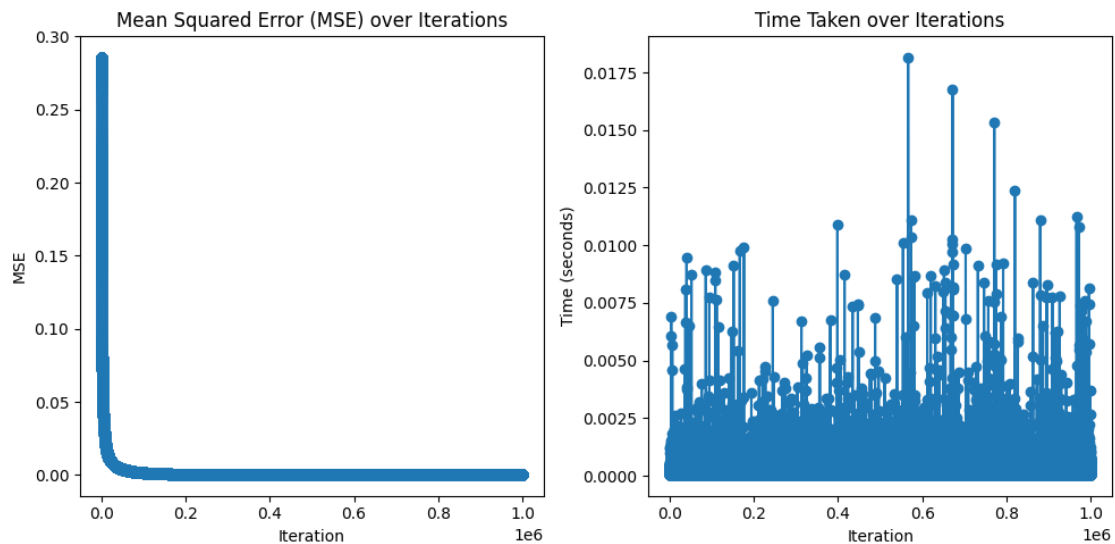


Figura 17 - Gráfico do MSE, Tempo em Relação a n , com seed ($n = 1000000$, $h = 12$, $lr=0.5$, $seed=123$)

Discussão de resultados dos gráficos

Como esperado, um aumento no tamanho do conjunto de dados (número de iterações), tal como ilustrado nas Figuras 16 e 17, resulta geralmente numa convergência mais suave e num MSE mais baixo (aproximado de zero), refletindo a capacidade melhorada da rede para aprender com mais dados.

As Figuras 12 e 17 mostram a sensibilidade da rede à taxa de aprendizagem. Embora uma taxa de aprendizagem mais elevada ($0.5 > 0.1$) possa conduzir a uma convergência mais rápida, pode também introduzir oscilações ou ultrapassagens no processo de formação, afetando o MSE final.

A consistência dos resultados em diferentes conjuntos de dados sugere que o número escolhido de camadas ocultas (12) é adequado para a tarefa/testes em causa. No entanto, é crucial notar que o número ótimo de camadas ocultas pode variar com base na complexidade do problema.

As Figuras 11, 13, 15 e 17 com sementes demonstram a importância da inicialização das sementes para a reprodutibilidade. As mesmas condições iniciais permitem uma comparação justa do desempenho do modelo.

Também verificamos que ocorreu instabilidade/discrepância no tempo de execução do algoritmo de retropropagação devido ao uso da função da biblioteca C - `clock()`, que mede o tempo que a CPU leva para executar uma determinada tarefa. Além disso, é importante salientar que a máquina utilizada nos testes foi uma VM (VirtualBox).

Capítulo 4

4 Testes unitários e programação defensiva

Testes unitários e programação defensiva são práticas cruciais na engenharia de software que desempenham papéis fundamentais na criação de software (programa) robusto e confiável.

4.1 Testes unitários

Os testes unitários (TU) são projetados para verificar o funcionamento de unidades individuais de código, como funções ou métodos. Eles ajudam a identificar erros e problemas de lógica no código logo no início do desenvolvimento, o que é crucial para corrigir problemas antes que se tornem mais complexos e difíceis de resolver.

No projeto, criamos testes unitários para identificar erros e garantir que os programas criados em cada trecho do código funcionem corretamente.

4.2 Programação defensiva

A programação defensiva (PD) envolve a escrita de código para prevenir erros e lidar com entradas inesperadas ou situações de erro. Isso inclui a validação das entradas do utilizador e a verificação de pré-condições e pós-condições. Além disso, a PD ajuda a tornar o software mais robusto, reduzindo a probabilidade de falhas e crashes.

No projeto, não aprofundámos demasiado a programação defensiva, mas utilizámos conceitos introdutórios sobre este assunto, como a verificação de pré-condições.

Para depurar os programas, utilizamos duas ferramentas importantes: o GNU Debugger (gdb) e Valgrind.

Para testar os testes unitários deste projeto, é necessário seguir as instruções que se segue e, assegurar que está no diretório `partI` :

```
user@host: partI$ make
```

```
user@host: partI$ ./unit_tests
```

Para limpar os executáveis, basta fazer ***make clean*** no diretório correspondente.

Capítulo 5

5 Contribuição dos autores

A participação de cada autor foi excelente no que diz respeito à pesquisa, discussão e escrita deste trabalho, destacando-se o esforço de cada membro do grupo em relação ao desenvolvimento do código. A percentagem de contribuição para cada estudante fica como segue:

- Jodionísio Muachifi – 40%
- Miguel Simões – 32%
- Gustavo Reggio – 28%

Capítulo 6

6 Conclusão

Com este trabalho, foi possível compreender na prática o funcionamento da construção de uma estrutura básica de rede neural em linguagem de programação C, implementada com o auxílio do algoritmo de retropropagação e testada através da função XOR. Este estudo evidencia o quão poderosa uma rede neural pode ser na prática, especialmente quando se ajustam cuidadosamente os (hiper)parâmetros para obter resultados ótimos. Observamos o melhor desempenho da nossa rede ao ajustar o número de iterações para 1.000.000, a taxa de aprendizagem para 0,5 e a semente (*seed*) mais baixa.

Em suma, as características discutidas contribuíram coletivamente para a eficácia e adaptabilidade da rede neural. A interação entre as funções de ativação, o algoritmo de treino proposto e o ajuste dos (hiper)parâmetros permitiu que a rede neural se comportasse de forma eficiente, alcançando um *MSE* aproximado de zero.

Referências bibliográficas

- https://www.w3schools.com/c/c_structs.php
- [https://en.wikipedia.org/wiki/Pointer_\(computer_programming\)](https://en.wikipedia.org/wiki/Pointer_(computer_programming))
- <https://www.youtube.com/watch?v=llg3gGewQ5U>
- <https://elearning.ua.pt/mod/url/view.php?id=1336755>
- <https://en.wikipedia.org/wiki/Backpropagation>
- https://en.wikipedia.org/wiki/Neural_network
- https://en.wikipedia.org/wiki/GNU_Debugger
- <https://en.wikipedia.org/wiki/Valgrind>